

Polypropylene Blends and Ethylene-octene Copolymer and Their Applications

Fatemeh Koosha

Faculty of Polymer Engineering, Mahshahr Branch, Islamic Azad University,
Mahshahr, Iran

Received: 20 December 2012, Accepted: 18 December 2013

Abstract

Rheological, morphological and mechanical studies were performed on various blends of polypropylene (PP) and ethylene-octene copolymer (EOC). The oscillatory flow properties were determined at 220°C on a cone-plate rheometer (dynamic rheometer, SR 200) at an angular frequency range of 0.01 to 100 rad/s. The rheological studies showed material flow behavior in the molten state. Scanning electron microscopy (SEM) revealed that as the amount of ethylene-octene copolymer increased, the size of elastomeric domains increased; and that dual-phase continuity occurred between 50 and 60 (wt%) of EOC. Studies on mechanical analysis showed that PP/EOC blends displayed higher impact strength than PP. With the addition ethylene-octene copolymer into polypropylene, the mechanical properties of the final blend improved because of lower elastic modulus intended for soft and flexible product and a low glass transition temperature to impart impact strength at low temperatures. This copolymer was compatible with PP in creating brightness and surface luster. The amount of long chain branches had significant effect on mechanical and rheological properties of ethylene-octene copolymer.

Key Words

**polymer blends,
polypropylene,
ethylene-octene copolymer,
rheological behavior,
mechanical properties**

(*) To whom correspondence should be addressed.
E-mail: f_koosha_67@yahoo.com

آمیخته‌های پلی پروپیلن و کوپلیمر اتیلن-اکتن و کاربردهای آنها

بسپارش
فصلنامه علمی- ترویجی
.۴ سال سوم، شماره .
صفحه ۷۴-۶۶، ۱۳۹۲
ISSN: 2252-0449

فاطمه کوشای

ماهشهر، دانشگاه آزاد اسلامی، واحد ماهشهر، دانشکده مهندسی پلیمر

دريافت: ۱۳۹۱/۹/۲۹، پذيرش: ۱۳۹۲/۹/۲۷

چکیده

مطالعات رئولوژیکی، شکلشناسی و مکانیکی روی آمیخته پلی پروپیلن (PP) و کوپلیمر اتیلن-اکتن (EOC) انجام شده است. خواص جریان نوسانی در دمای 220°C با استفاده از رئومتر دینامیکی مخروط-صفحه با بسامد زاویه‌ای در محدوده 100 rad/s تا 1 rad/s اندازه‌گیری شده است. مطالعات رئولوژیکی، رفتار جریان مواد را در حالت مذاب بررسی می‌کند. نتایج مربوط به میکروسکوپی الکترونی پویشی (SEM) نشان می‌دهد، در حالت ازدیاد مقدار کوپلیمر اتیلن-اکتن، اندازه ناحیه الاستومری نیز افزایش می‌یابد. همچنین، دوگانگی فازی در ترکیب درصدهای بین 50 و 60 درصد وزنی از EOC ممکن است اتفاق بیافتد. نتایج مربوط به تجزیه مکانیکی نشان می‌دهد، آمیخته PP/EOC استحکام ضربه‌ای بیشتری نسبت به PP دارد. با افزودن کوپلیمر اتیلن-اکتن به پلی پروپیلن، خواص مکانیکی بهبود می‌یابد، زیرا مدول یانگ کم این الاستومر موجب ایجاد نرمی و انعطاف‌پذیری و دمای انتقال شیشه‌ای کم آن نیز باعث استحکام ضربه‌ای در دمای کم می‌شود. همچنین، EOC سارگار با PP بوده و درخشنده‌گی و جلای سطح آن را بهبود می‌دهد. مقدار شاخه‌های زنجیربلند در کوپلیمر اتیلن-اکتن روی خواص رئولوژیکی و مکانیکی اثر می‌گذارد.



فاطمه کوشای

وازگان کلیدی

آمیخته‌های پلیمری،
پلی پروپیلن،
کوپلیمر اتیلن-اکتن،
رفتار رئولوژی،
خواص مکانیکی

مقدمه

اکتن آن در محدوده ۲۰٪ تا ۴۰٪ وزنی است. این کوپلیمر با اصلاح کننده‌های ضربه قدیمی‌تر EPDM در رقابت است [۱۰-۱۴].

با توجه به این نکته که کوپلیمر اتیلن-اکتن، وزن مولکولی به نسبت کمتری به نسبت EPR دارد، بنابراین برای PP با وزن مولکولی کم کاربرد خاص دارد. این کوپلیمر برای بهبود استحکام ضربه‌ای پلی‌پروپیلن در سپر خودرو استفاده می‌شود که با توجه به دمای انتقال شیشه‌ای کم آن، برای بهبود استحکام ضربه‌ای در دماهای پایین کاربرد ویژه دارد. وجود شاخه‌های زنجیرکوتاه و زنجیربلند نیز در این نوع کوپلیمرهای اتیلن، باعث ایجاد خواص منحصر به فرد می‌شود [۱۱].

Kontopoulou [۱۲] اثر ترکیب درصد و نوع کومونومر را روی رئولوژی، شکل‌شناسی، خواص گرمایی و مکانیکی را برای آمیخته‌های پلی‌پروپیلن با کوپلیمر اتیلن-اکتن و کوپلیمر اتیلن-بوتن مقایسه کرد. وی به این نتیجه رسید که آمیخته‌ها در دو حالت جامد و مذاب امتزاج ناپذیرند. همچنین، مقادیر کم کشش بین سطحی، سازگاری عالی بین این فازها را اثبات می‌کند. انتقال از خواص پلاستیکی به خواص الاستومری در ترکیب درصدهای بیش از ۵۰٪ از EBC مشاهده شده است که همزمان با وارونگی فازی اتفاق می‌افتد. همچنین، نتایج حاصل از آزمون‌های مکانیکی نشان می‌دهد که کوپلیمر اتیلن-بوتن نسبت به اتیلن-اکتن، اثر بیشتری بر بهبود خواص ضربه‌ای PP دارد.

Mouzakis [۱۳] رابطه بین شکل‌شناسی و خواص مکانیکی آمیخته‌های حاصل از پلی‌پروپیلن با الاستومر اتیلن-بوتن (EBR) را بررسی کرد. در این پژوهش مشخص شد، با افزایش مقدار بوتن، امتزاج‌پذیری با PP افزایش می‌یابد. کوپلیمرهایی که مقدار بوتن آنها بیشتر از ۶۰٪ وزنی باشد، با PP امتزاج‌پذیراند. افزایش امتزاج‌پذیری در کسرهای حجمی بیش از ۱۰٪ از EBR، اثر منفی روی مدول و استحکام تسیلیم دارد.

McNally و همکاران [۱۴] در بررسی‌های انجام شده به بررسی شکل‌شناسی آمیخته‌های PP/EOC پرداخته‌اند. آنها از PP نوع EOC 8150 با شاخص جریان مذاب $g/10\text{min}$ ۴ و از کوپلیمر الاستومری اتیلن-اکتن با مقدار کومونومر ۲۵ درصد وزنی استفاده و آمیخته‌هایی شامل ۱، ۱۰، ۱۵، ۲۰ و ۳۰ درصد وزنی EOC تهیه کردند. نتایج حاصل از SEM و $\tan\delta$ نشان داد، در همه آمیخته‌هایی که بیش از ۱۵ درصد وزنی EOC دارند، هرگز قطر دامنه‌ها از $1\text{ }\mu\text{m}$ تجاوز نمی‌کند. کوچکترین قطر متوسط دامنه‌ها بین $15^{\circ}/16\text{ }\mu\text{m}$ برای آمیخته‌هایی با نسبت ۸۵/۱۵ از PP/EOC دیده می‌شود. هنگامی که مقدار EOC 8150 به بیش از ۲۰ و ۳۰ درصد وزنی

از دیرباز آمیخته‌سازی به عنوان یکی از روش‌های موثر برای دست‌یابی به خواص مطلوب بسیار استفاده شده است. پلی‌پروپیلن (PP) پلیمری بسیار کاربردی با خواص مناسب است، ولی به علت استحکام ضربه‌ای ضعیف، کاربردهای آن بهویژه در دماهای کم محدود شده است. اصلاح ضربه‌پذیری و چقرمگی پلی‌پروپیلن موضوع بسیاری از پژوهش‌ها در سه دهه اخیر بوده است.

در این پژوهش، آمیخته‌هایی از پلی‌پروپیلن و الاستومر پلی‌اولفینی بررسی می‌شود. باید توجه کرد، عملکرد نهایی یک آمیخته پلیمری به خواص رئولوژیکی آن بستگی دارد. رئولوژی آمیخته‌های پلیمری به شدت تحت تاثیر شکل‌شناسی و چسبندگی بین فازی اجزای آمیخته قرار دارد [۱]. این خود اهمیت فهم و بیان روابط بین شکل‌شناسی و رئولوژی را مشخص می‌سازد.

اصلاح خواص پلی‌اتیلن و پلی‌پروپیلن از راه کوپلیمر شدن با اولفین‌های متفاوت، اهمیت کاربردی زیادی دارد. روش مهمی که برای اصلاح خواص پلی‌اتیلن و پلی‌پروپیلن استفاده می‌شود، کوپلیمر شدن آنها با α -اولفین‌هاست. از جمله این ترکیبات می‌توان کوپلیمر اتیلن-بوتن (EBC)، کوپلیمر اتیلن-اکتن (EOC)، کوپلیمر اتیلن-هگزون (EHC) و غیره را نام برد. آفالولفین‌ها، آکن‌هایی با فرمول شیمیایی C_nH_{2n} هستند که از سایر مونوأولفین‌ها با فرمول مولکولی مشابه، با خطی بودن زنجیر هیدروکربنی و مکان پیوند دوگانه در ابتدای آن یا مکان آلفا تشخیص داده می‌شوند. فناوری کاتالیزور متالوسن اجازه می‌دهد تا کوپلیمرهایی از اتیلن و α -اولفین‌ها با توزیع وزن مولکولی باریک و توزیع همگن کومونومر تولید شود.

پیشرفت در نوع کاتالیزور متالوسن تک‌موقعی در چند دهه اخیر، مرحله برجسته‌ای در پیشرفت پلی‌اولفین‌هاست. پلیمر شدن با استفاده از کاتالیزور متالوسن کتترل ساختار مولکولی را آسان می‌کند. اتصال درجه‌های متنوعی از شاخه‌های زنجیری بلند، پلی‌اولفین‌هایی با چگالی کم، مشخصه‌های الاستومری و خواص رئولوژیکی منحصر به فردی را نتیجه می‌دهد [۲،۳].

پلی‌پروپیلن برای بهبود استحکام ضربه‌ای با الاستومرهای متفاوتی مخلوط می‌شود. از میان همه آنها کوپلیمر اتیلن-پروپیلن دی‌ان مونومر (EPDM) به طور گسترده‌ای به کار گرفته شده است. به دلیل فراوانی پژوهش‌ها در باره این الاستومر، بسیاری از مطالعات اخیر روی آمیخته پلی‌پروپیلن با کوپلیمرهای اتیلن- α -اولفین بر پایه اکتن انجام شده‌اند. کوپلیمر اتیلن-اکتن دارای توزیع وزن مولکولی باریک با استفاده از کاتالیزورهای متالوسن تولید می‌شود، به طوری که مقدار



جدول ۱- مشخصات مواد استفاده شده [۱۶].

مواد	PP	EOC-8100
درصد ۱-اکتن	-	۲۴
چگالی در دمای (g/cm ³)	۰/۹۱۷	۰/۸۸۴
شاخص پراکندگی	۹/۲	۲/۱
متوسط عددی وزن مولکولی	۴۶/۵۰۰	۱۵۶/۰۰۰
شاخص جریان مذاب (g/10min)	۴/۳±۰/۲	۲/۵±۰/۴

تنظیم شد. ترکیب درصدهای استفاده شده برای تهیه آمیخته‌ها، ۵، ۲۰، ۵۰، ۸۰ و ۱۰۰ درصد وزنی از کوپلیمر EOC بود [۱۶].

داده‌های رئولوژیکی

گرانزوی‌های پلیمرها در سرعت‌های برش کم (۰/۱-۱۰۰ rad/s) با استفاده از رومتر دینامیکی مخروط-صفحه مدل SR200 (ساخت آلمان) در دمای C ۲۲۰ در نتیجه انجام شد [۱۶]. گرانزوی مخلوط * η^* به شکل زیر تعریف می‌شود:

$$\eta^* = \eta' - i\eta'' \quad (1)$$

که در آن، η' گرانزوی دینامیکی یا قسمت حقیقی گرانزوی و $i\eta''$ قسمت غیرحقیقی گرانزوی است. مدول ذخیره G' به شکل $G' = \omega \eta''$ تعریف می‌شود که در آن ω بسامد بر حسب rad/s است و مدول اتلاف $G'' = \omega \eta'$ تعریف می‌شود.

آزمون خواص مکانیکی

آزمون‌های کششی در دمای معمولی (دمای ۲۵°C و رطوبت نسبی ۵۵%) با استفاده از نمونه‌های حاصل از قالب‌گیری فشاری با دستگاه Instron مدل ۴۲۰۴ در سرعت کشش ۵۰ cm/min بر اساس ASTM D882 انجام شد. استحکام ضربه‌ای براساس ۵۰ شکاف ASTM D256 (شکاف V) با دستگاه Instron در دمای معمولی اندازه‌گیری شد [۱۵].

بررسی میکروسکوپی

شكل‌شناسی آمیخته‌ها با میکروسکوپ الکترونی پویشی (SEM) مدل JSM-5300 بررسی شد. نمونه‌های آمیخته در نیتروژن مایع شکسته شده و سپس با حلال هپتان به مدت ۷ روز حکاکی شدند. عمل حکاکی برای خارج کردن فاز الاستومری استفاده می‌شود. پس از آن، نمونه‌ها به مدت ۵ ساعت در گرمخانه با دمای ۸۰°C خشک

افزایش می‌یابد، فاز پراکنده از دامنه شبکه کروی به حالت کشیده شده تبدیل می‌شود. با توجه به نتایج حاصل می‌توان نتیجه گرفت، بهینه‌ترین مقدار افزایش طول تا پارگی و بهبود خواص ضربه‌ای برای آمیخته‌های با ۱۵٪ وزنی دارند، به دست می‌آید. برای آمیخته‌های با ۱ و ۳ درصد وزنی EOC 8150، مقدار امتزاج پذیری بین PP و EOC 8150 را نتیجه دهد. هیچ شکل شناسی هم پیوسته برای آمیخته‌های بررسی شده مشاهده نمی‌شود.

به علت فرایند پذیری مناسب‌تر و سازگاری بهتر این کوپلیمر نسبت به کوپلیمرهای لاستیک اتیلن پروپیلن معمولی، به بررسی آمیخته‌های حاصل از کوپلیمرهای اتیلن-اکتن و پلی‌پروپیلن پرداخته می‌شود.

افزون بر این، ادعاهای متناقضی در مقالات درباره امتزاج پذیری پلی‌پروپیلن و کوپلیمرهای اتیلن-اکتن وجود دارد. پژوهش‌های قبلی نشان می‌دهد، اکثر انواع این آمیخته‌ها امتزاج ناپذیری ترمودینامیکی دارند. در کوپلیمرهای اتیلن-a-اولفین، که غنی از بوتن یا غنی از هگزن هستند، با PP تک‌آرایش در ناحیه بی‌شکل امتزاج پذیری ترمودینامیکی وجود دارد [۹-۱۵]. در بسیاری از مقالات، اثر شرایط تهیه آمیخته روی خواص مکانیکی و رئولوژیکی سامانه‌های پلی‌پروپیلن-استومر گزارش شده است. هدف اصلی مقاله حاضر، بررسی این مطلب است که چگونه ساختار مولکولی و مقدار کوپلیمر اتیلن-اکتن و شاخه‌های زنجیربلند رفتار رئولوژیکی آمیخته مذاب را تحت تاثیر قرار می‌دهد و همچنین ارتباط آن با شکل شناسی و رفتار مکانیکی آمیخته بررسی می‌شود.

تجربی

مواد

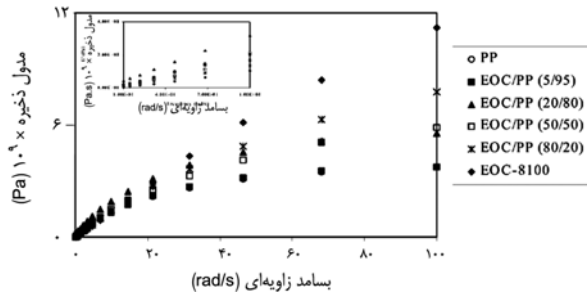
پلی‌پروپیلن تک‌آرایش از شرکت Polibrasil Resinas برزیل و کوپلیمر اتیلن-اکتن (مقدار کومونوم ۱-اکتن ۲۴٪ وزنی) تهیه شدند. PP نوع EOC 8100 ساخت شرکت DOW استفاده شد. مشخصات PP و EOC در جدول ۱ نشان داده شده است [۱۶].

دستگاه‌ها و روش‌ها

تهیه آمیخته

اکسترودر دوپیچی Haake برای تهیه آمیخته مذاب از PP/EOC استفاده شد. سرعت پیچ در ۶۰ rpm و نیم رخ دمایی اکسترودر از ناحیه تغذیه تا ناحیه سنجش روی دمایی ۱۹۰، ۲۱۰ و ۲۲۰°C





شکل ۲- مدول ذخیره در برابر بسامد برای PP، EOC و PP/EOC آمیخته ها [۱۶].

در نتیجه گرانزوی افزایش می یابد. مدول ذخیره دینامیکی، G' ، وابسته به رفتار ذخیره مواد است و به عنوان انرژی ذخیره شده مطرح می شود. مدول اتلاف دینامیکی، G'' ، انرژی تلف شده را نشان می دهد. با توجه به وابستگی G' و G'' به بسامد، حرکت نسبی مولکولها در توده اندازه گیری می شود تا اطلاعات مهمی درباره رفتار جریان مذاب بدست آید [۱۸]. شکل ۲ وابستگی مدول ذخیره به بسامدهای بررسی شده برای الاستومر EOC و آمیخته EOC/PP را نشان می دهد.

آمیخته های PP در بسامدهای کم و زیاد رفتار متفاوتی را نشان می دهند. با توجه به شکل دیده می شود، در بسامدهای کم، نمونه های با مقدار EOC 8100 کمتر، رفتار کشسانی بیشتری نشان می دهند. به دلیل اینکه در بسامدهای کم هر چه مقدار EOC در PP نمونه ها کمتر باشد، احتمال تشکیل گره خوردگی بین زنجیرهای PP بیشتر است، پس رفتار کشسانی بیشتر است. در بسامدهای بیشتر با افزایش مقدار EOC، رفتار کشسانی آمیخته ها بیشتر می شود. زیرا در این حالت، احتمال تشکیل گره خوردگی بین زنجیرهای PP و شاخه های کوپلیمر EOC بیشتر می شود، در نتیجه رفتار کشسانی نیز افزایش می یابد.

در بسامدهای زیاد، EOC 8100 مقادیر G' بیشتری را نشان می دهد که دال بر وجود شاخه های زنجیربلند در مولکول های EOC 8100 است که بدین ترتیب گرایش به ایجاد گره خوردگی و در نهایت کشسانی بیشتری را دارد. شکل ۳ تغییر در شاخص جریان (n) و زمان آسایش (t_0) را با مقدار EOC نشان می دهد. گزارش های قبلی نشان می دهد [۱۹، ۲۰]، مقادیر زمان آسایش کمتر، باعث آغاز جریان غیر نیوتئی در سرعت برش بیشتر می شود. این مواد محدوده رفتار نیوتئی بزرگتری را نشان می دهند. با توجه به شکل ۳ مشاهده می شود، در 10^0 درصد وزنی EOC 8100 کمترین زمان آسایش حاصل می شود. این موضوع نمایانگر آن است که

شدند. در نهایت، آمیخته ها با طلا پوشانده شده و در اتاق SEM قرار گرفتند [۱۷].

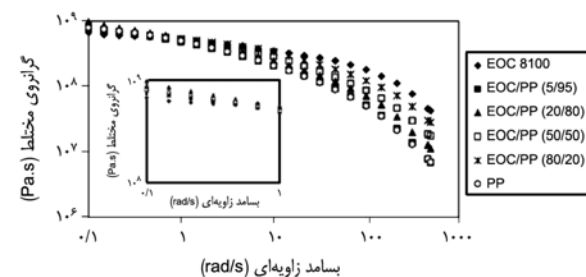
نتایج و بحث

بررسی های رئولوژیکی

شکل ۱ وابستگی گرانزوی ترکیبی (η^*) به بسامد (ω) را برای PP، کوپلیمر EOC و آمیخته EOC/PP نشان می دهد. در این شکل دیده می شود که در بسامدهای زیاد و کم رفتار رئولوژیکی متفاوت است. در بسامدهای کم، PP و الاستومر EOC به شکل مارپیچی فشرده هستند و گرانزوی پلیمرهای خالص کم است. افزودن مقدار اندکی الاستومر EOC (۵ درصد وزنی) موجب ایجاد آشفتگی و اختلال در صورت بندی PP شده و باعث کاهش فاصله بین زنجیرهای PP می شود. در نتیجه، برهم کنش های احتمالی بین مولکول های PP به وجود می آورد.

هنگامی که مقدار EOC افزایش می یابد، فاصله بین زنجیرهای PP زیاد می شود. در اثر افزایش فاصله بین مولکول های PP، برهم کنش های میان آنها کم می شود که در نتیجه گرانزوی سامانه PP/EOC کاهش می یابد [۱۵].

در بسامدهای کم، رفتار رئولوژیکی آمیخته های PP/EOC به کمک برهم کنش میان مولکول های PP بررسی می شود. زیرا در این شرایط، الاستومر EOC به شکل مارپیچ است. در بسامدهای بیشتر، اثر وجود شاخه های زنجیربلند بسیار قابل توجه است و گره خوردگی های میان شاخه های زنجیربلند EOC و زنجیرهای PP ممکن است اتفاق بیافتد. گرانزوی آمیخته EOC بین گرانزوی اجزای خالص قرار می گیرد. در واقع در بسامدهای بیشتر، هر چه مقدار الاستومر EOC افزایش یابد، احتمال ایجاد برهم کنش بین مولکول های PP و زنجیرهای EOC بیشتر می شود،



شکل ۱- وابستگی گرانزوی مخلوط به بسامد برای PP، EOC و آمیخته PP/EOC [۱۶].



نتایج هسته‌ای

جدول ۲- خواص کششی آمیخته ۸۱۰۰ [PP/ EOC 8100].^[۱۵]

چقرمگی (MPa)	مدول یانگ (MPa)	تنش تا شکست (MPa)	درصد وزنی EOC 8100
۳۳±۱	۲۵۹±۱۷	۳۲±۳	۰
۱۴۹±۴۷	۱۱۱±۱۸	۵۵±۳	۵
۱۳۴±۴۳	۱۲۸±۲۰	۴۹±۵	۲۰
۱۰۳±۱۰	۹۱±۷	۳۷±۲	۵۰
۴۴±۵	۲۰±۲	۱۲±۱	۸۰
۴۰±۶	۶±۱	۱۱±۱	۱۰۰

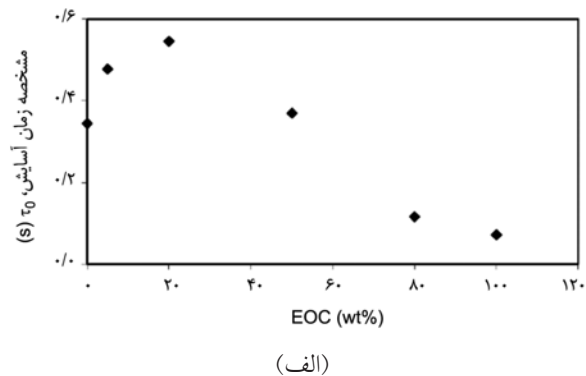
با افزایش مقدار EOC، تنش تا شکست آمیخته‌ها کاهش می‌یابد، زیرا این الاستomer نرمی و انعطاف‌پذیری را افزایش می‌دهد و باعث کاهش مدول آنها می‌شود. با توجه به اطلاعات به دست آمده از مرجع ۱۷، این رفتار وابسته به امتزاج‌پذیری اجزا بوده و در نتیجه تشکیل ساختار دوفازی است. همچنین نتیجه‌گیری می‌شود، فرایند شکست درون فازی، به دلیل امتزاج ناپذیری اجزا، تسریع PP می‌شود. جدول ۳، نتایج مربوط به استحکام ضربه‌ای آمیخته ۸۱۰۰ EOC را در دمای معمولی نشان می‌دهد. نتایج به دست آمده، استحکام ضربه‌ای خوبی را برای آمیخته‌ها نشان می‌دهند. این موضوع بیانگر این است که با افزودن مقدار EOC تا حدود ۵ درصد وزنی، استحکام ضربه‌ای به طور قابل توجهی بهبود می‌یابد.

میکروسکوپی الکترونی پویشی

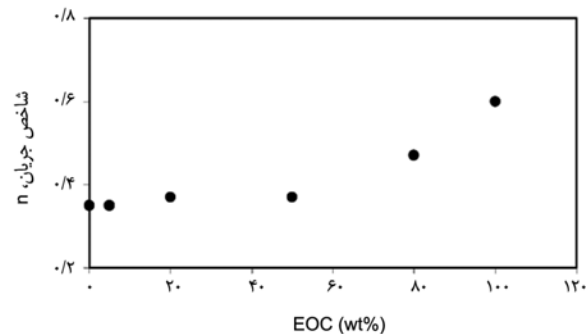
پیوستگی فازی دوگانه با میکروسکوپ الکترونی پویشی بررسی شده و به عنوان ناحیه‌ای از فضای تعریف می‌شود که هر فاز، مقداری درجه پیوستگی خود را حفظ می‌کند. راه دیگر که نقطه میانی ترکیب درصدهایی از دوگانگی فازی را پیش‌بینی می‌کند، مدل Sperling است که با مدل ریاضی زیر ارائه می‌شود [۱۷]:

جدول ۳- استحکام ضربه‌ای آمیخته ۸۱۰۰ [PP/ EOC 8100].^[۱۵]

استحکام ضربه‌ای (J/m)	درصد وزنی EOC 8100
۴۰±۲	۰
۴۹±۱	۵
۸۱±۹	۲۰
۶۰۶±۲۸	۵۰



(الف)



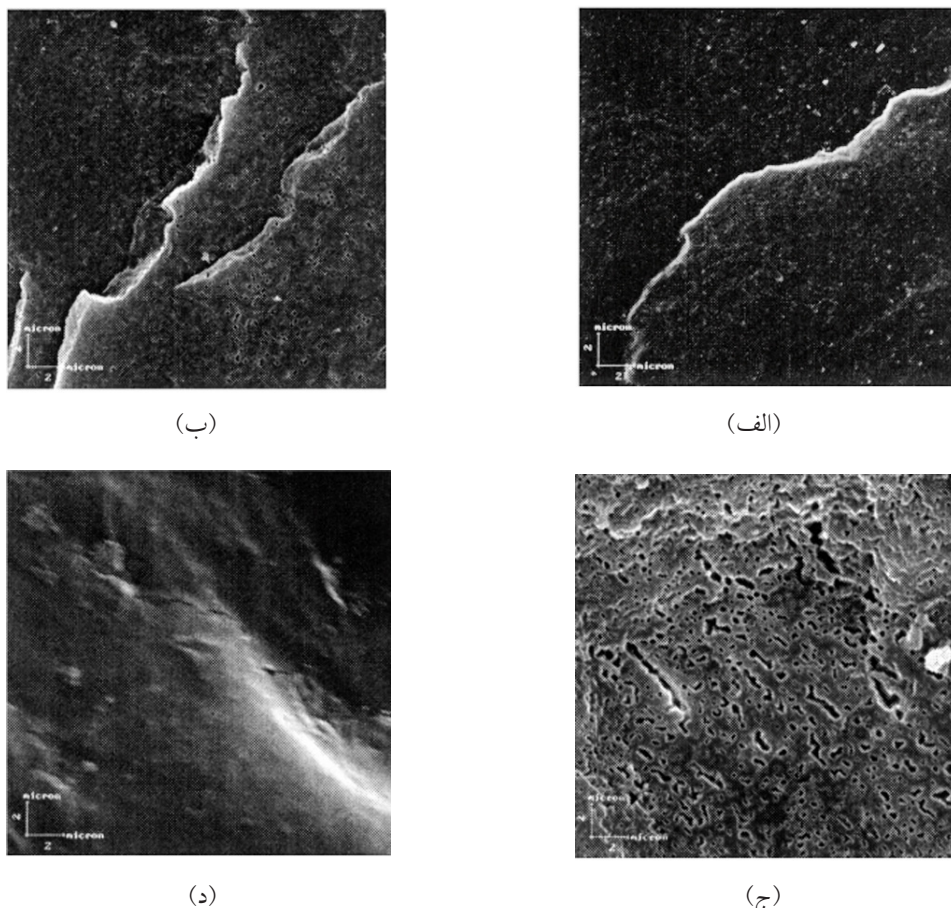
(ب)

شکل ۳- مقادیر: (الف) زمان آسایش (τ_0) و (ب) شاخص جریان (n) برای EOC، PP و آمیخته ۸۱۰۰ [PP/ EOC].^[۱۶]

پلیمر مزبور بزرگترین محدوده رفتار نیوتونی را نشان می‌دهد. مقادیر n بیشتر، رفتار مشابه زمان آسایش کمتر دارد. آمیخته شامل درصد وزنی EOC، مقادیر زمان آسایش کم و مقدار n زیادی نشان می‌دهد که رفتار جریان مشابهی با آمیخته با ۱۰۰ درصد EOC دارد. وقتی که مقدار ۵ و ۲۰ درصد وزنی EOC افزوده می‌شود، مقادیر τ_0 افزایش و مقادیر n کاهش می‌یابد. به عبارتی، آمیخته‌های مزبور در سرعت برشی کمتر، رفتار غیرنیوتونی نشان می‌دهند که شاهدی بر وقوع رقیق شدن برشی شدید و زیاد است. این نتایج مطابق با رفتار جریان در شکل ۱ است.

تجزیه مکانیکی

در جدول ۲ اثر ترکیب درصد آمیخته روی خواص کششی آمیخته EOC/PP نشان داده شده است. کوپلیمر اتیلن-بوتان مدول یانگ کمی دارد و برای ایجاد نرمی و انعطاف‌پذیری در پلی‌پروپیلن استفاده می‌شود. با افزایش مقدار EOC، مدول یانگ آمیخته‌ها کاهش می‌یابد. همچنین، کوپلیمر مزبور دارای دمای انتقال شبشهای کمی است که برای ایجاد استحکام ضربه‌ای مناسب در دماهای کم استفاده می‌شود. این کوپلیمر با PP برای درخشندگی و جلای سطح نیز سازگار است.



شکل ۴- ریزنگار SEM آمیخته های دارای EOC به مقدار: (الف) ۵٪ وزنی، (ب) ۲۰٪ وزنی، (ج) ۵۰٪ وزنی و (د) ۸۰٪ وزنی [۱۷].

آمیخته جمع آوری می شود. همچنین، برای پلیمرهای خالص که شرایط فرایندی یکسانی را با آمیخته ها ارائه می دهند، معادله زیر پیشنهاد می شود [۱۷]:

$$\frac{P_p}{P_R} \times \frac{\Phi R}{\Phi P} \cong 1 \quad (3)$$

که در آن، τ_P گشتاور PP و τ_R گشتاور EOC و Φ_P و Φ_R به ترتیب، کسر حجمی جزء PP و EOC است. در حالتی که در معادله (۱)، طرف چپ معادله بزرگتر از واحد باشد، الاستومر احتمالاً فاز پیوسته را تشکیل می دهد. اگر کوچکتر از واحد باشد، پلاستیک احتمالاً فاز پیوسته خواهد بود. این مقادیر در حین اکسیژن

$$\frac{\tau_P}{\tau_R} \times \frac{\Phi R}{\Phi P} \cong 1 \quad (2)$$

جدول ۴- کسر حجمی و نسبت کسر حجمی آمیخته ها ($P_R = ۵/۲$ bar و $P_p = ۳/۲$ bar).

درصد وزنی (EOC 8100)	درصد حجمی (Φ_P)	درصد حجمی (Φ_R)	Φ_R / Φ_P	$P_p / P_R \times \Phi_R / \Phi_P$
۰/۰۴	۰/۰۵	۵/۲	۹۴/۵	۵
۰/۱۶	۰/۲۶	۲۰/۵	۷۹/۵	۲۰
۰/۴۳	۱/۰۳	۵۰/۸	۴۹/۲	۵۰
۲/۵۶	۴/۱۳	۸۰/۵	۱۹/۵	۸۰

متفاوتی اتفاق می‌افتد: در محدوده بسامد کم، کوپلیمر EOC گرانروی کمی را نشان می‌دهد. هنگامی که مقدار EOC افزایش می‌یابد، گرانروی آمیخته‌ها کاهش می‌یابد. در محدوده بسامد بیشتر، گرانروی آمیخته PP/EOC بین گرانروی اجزای خالص قرار می‌گیرد که با مقدار EOC افزایش می‌یابد، از آنجا که صورت بندی متباوت به دست آمده وابسته به محدوده سرعت برش مورد تجزیه است، این رفتارها وابسته به شکل مولکولی EOC است.

- با توجه به تجزیه مکانیکی مشاهده می‌شود، در 50° درصد وزنی EOC، استحکام ضربه‌ای قبل توجهی به دست می‌آید.
- مطالعات شکل‌شناسی نشان می‌دهد، پیوستگی فازی دوگانه در ترکیب درصدهای بین 50° و 60° درصد وزنی از EOC ممکن است اتفاق بیافتد که این نتایج مطابق با مدل Sperling است.

کسر حجمی و نسبت‌های حجمی آمیخته‌های PP/EOC آمده است. نتایج حاصل نشان می‌دهد، بر اساس مدل Sperling در نمونه شامل 50° درصد وزنی از EOC، پیوستگی فازی دوگانه ممکن است اتفاق بیافتد. تحلیل پراکنش SEM به وسیله EOC انجام شده است. نتایج نشان می‌دهد که جزئی که مقدار کمی دارد، به شکل گوی در ناحیه‌ها جدا شده‌اند و اندازه ناحیه‌های الاستومری با افزایش مقدار EOC افزایش می‌یابد. وارونگی فازی تدریجی با وقوع یک ناحیه با پیوستگی فازی دوگانه بین ترکیب درصدهای حدود 50° تا 60° درصد وزنی از EOC مشاهده می‌شود. نتایج حاصل از SEM مطابق با مدل Sperling است.

نتیجه‌گیری

- در محدوده بسامدهای $1/\text{rad/s}$ تا $100/\text{rad/s}$ رفتار رئولوژیکی

مراجع

- Chen G., Guo S., and Li Y., Dynamic Rheological Properties of High-Density Polyethylene/ Polystyrene Blends Extruded in the Presence of Ultrasonic Oscillations, *J. Appl. Polym. Sci.*, **92**, 3153–3158, 2004.
- Stadler F.J., Takahashi T., and Yonetake K., Crystal Structure of Ethene- α -Olefin Copolymers with Various Long Comonomers (C_8-C_{26}), *Eur. Polym. J.*, **47**, 1048–1053, 2011.
- Quijada R., Guevara J.L., Galland G.B., Rabagliati F.M., and Lopez-Majada J.M., Synthesis and Properties Coming from the Copolymerization of Propene with α -Olefins Using Different Metallocene Catalysts, *Polymer*, **46**, 1567–1574, 2005.
- Starck P., Rajanen K., and Lofgren B., Comparative Studies of Ethylene- α -olefin Copolymers by Thermal Fractionations and Temperature-dependent Crystallinity Measurements, *Thermochimica Acta*, **395**, 169–181, 2003.
- Lin Y., Marchand G.R., Hiltner A., and Baer E., Adhesion of Olefin Block Copolymers to Polypropylene and High Density Polyethylene and their Effectiveness as Compatibilizers in Blends, *Polymer*, **52**, 1635–1644, 2011.
- Sarzotti D.M., Soares J.B.P., Simon L.C., and Britto L.J.D., Analysis of the Chemical Composition Distribution of Ethylene- α -Olefin Copolymers by Solution Differential Scanning Calorimetry: An Alternative Technique to Crystaf, *Polymer*, **45**, 4787–4799, 2004.
- Hosoda S., Hori H., Yada K., Nakahara S., and Tsuji M., De-
- gree of Comonomer Inclusion into Lamella Crystal for Propylene/Olefin Copolymers, *Polymer*, **43**, 7451–7460, 2002.
- Polo-Corpa M.J., Benavente R., Velilla T., Quijada R., Pérez E., and Cerrada M.L., Development of the Mesomorphic Phase in Isotactic Propene/Higher α -olefin Copolymers at Intermediate Comonomer Content and Its Effect on Properties, *Eur. Polym. J.*, **46**, 1345–1354, 2010.
- Arranz-Andre's J., Guevara J.L., Velilla T., Quijada R., Benavente R., Pe'rez E., and Cerrada M.L., Syndiotactic Polypropylene and Its Copolymers with Alpha-olefins. Effect of Composition and Length of Comonomer, *Polymer*, **46**, 12287–12297, 2005.
- Nitta K.H., Shin Y.W., Hashiguchi H., Tanimoto S., and Terano M., Morphology and Mechanical Properties in the Binary Blends of Isotactic Polypropylene and Novel Propylene-Co-olefin Random Copolymers with Isotactic Propylene Sequence 1. Ethylene-propylene Copolymers, *Polymer*, **46**, 965–975, 2005.
- Dangtungsee R., Desai S.S., Tantayanon S., and Supaphol P., Melt Rheology and Extrudate Swell of Low-density Polyethylene/Ethylene-octene Copolymer Blends, *Polym. Test.*, **25**, 888–895, 2006.
- Kontopoulou M., Wang W., Gopakumar T.G., and Cheung C., Effect of Composition and Comonomer Type on the Rheology, Morphology and Properties of Ethylene- α -olefin Copo-



- lymer/Polypropylene Blends, *Polymer*, **44**, 7495–7504, 2003.
13. Mouzakis D.E., Mäder D., Mühlaupt R., and Karger-Kocsis J., Relationship Between Morphology and Mechanical Properties Polypropylene/Ethene-co-butene Binary Blends with Various Butene Contents, *J. Mater. Sci.*, **35**, 1219 – 1230, 2000.
14. McNally T., McShane P., Nally G.M., Murphy W.R., Cook M., and Miller A., Rheology, Phase Morphology, Mechanical, Impact and Thermal Properties of Polypropylene/Metallocene Catalysed Ethylene 1-Octene Copolymer Blends, *Polymer*, **43**, 3785-3793, 2002.
15. Da Silva A.L.N., Rocha M.C.G., Coutinho F.M.B., Bretas R.E.S., and Farah M., Evaluation of Rheological and Mechanical Behavior of Blends Based on Polypropylene and Metallocene Elastomers, *Polym. Test.*, **21**, 647–652, 2002.
16. Bailly M., and Kontopoulou M., Preparation and Characterization of Thermoplastic Olefin/Nanosilica Composites Using a Silane-grafted Polypropylene Matrix, *Polymer*, **50**, 2472–2480, 2009.
17. Silva A.L.N., Rocha M.C.G., Coutinho F.M.B., Bretas R., and Scuracchio C., Rheological and Morphological Properties of Blends Based on Ethylene-Octene Copolymer and Polypropylene, *Polym. Test.*, **19**, 363–371, 2000.
18. Silva A.L.N., Rocha M.C.G., Coutinho F.M.B., Bretas R., and Scuracchio C., Rheological, Mechanical, Thermal, and Morphological Properties of Polypropylene/Ethylene-Octene Copolymer Blends, *J. Appl. Polym. Sci.*, **75**, 692-704, 2000.
19. Masayuki Y., Hiroshi M., Victor T., and Costas G.G., Relation Between Molecular Structure and Flow Instability for Ethylene/α-Olefin Copolymers, *Polymer*, **43**, 5249–5255, 2002.
20. Mohanty S. and Nayak S.K., Dynamic-mechanical and Thermal Characterization of Polypropylene/ethylene-octene Copolymer Blend, *J. Appl. Polym. Sci.*, **104**, 3137–3144, 2007.

